



# Deep Learning methods in DBT imaging





- **Development of a Computerized Detection System (CDS) for the classification of DBT and BCT exams**
- Use of Evolutionary Generative Adversarial Network to synthetically augment the size of available DBT and BCT image dataset.





Approvazione del comitato etico del protocollo prospettico	(31/06/2021)
Implementation of a first E-GAN for DM images.	(31/06/2021)
Implementation of a first E-GAN for DBT and BCT images.	(31/12/2021)
Realization of preliminary CDS for DBT	(31/12/2021)





# Staff & Collaborations

## UNINA

- <b>Giovanni Mettivier</b>	PA UNINA	0.25
- Maria Carla Staffa	RTA UNINA	0.20
- <b>Paolo Russo</b>	PO UNINA	0.10
- Giovanni Acampora	PA UNINA	0.20
- Roberta Ricciardi	Spec. Fis. Medica	1.00

## Istituto Regina Elena (Roma)

- Landoni Valeria (IFO)	Resp. UOSD Fisica Medica	0.20
- Marica Masi (IFO)	UOSD Fisica Medica	0.20
- Francesca Ferranti	UOC Radiologia	
- Pedro Ordonez	UOSD Fisica Medica	
- Ramy Kayal	UOC Radiologia	
- Elena Saracca	UOC Radiologia	
- Antonello Vidiri	UOC Radiologia	
- Diana Giannarelli	Statistica	

## Ospedale Ruggi D'Aragona (Salerno)

- Antonio Orientale	Resp. Fisica Medica
- Immacolata Pilotti	
- Pasquale D'Andria	

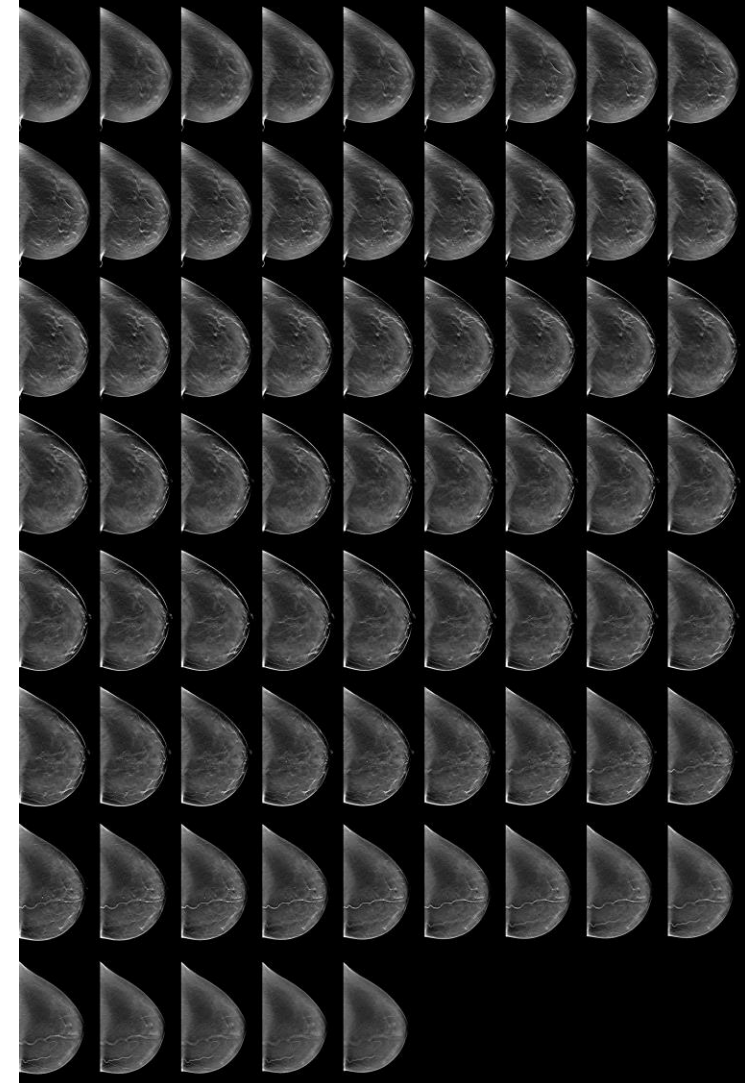
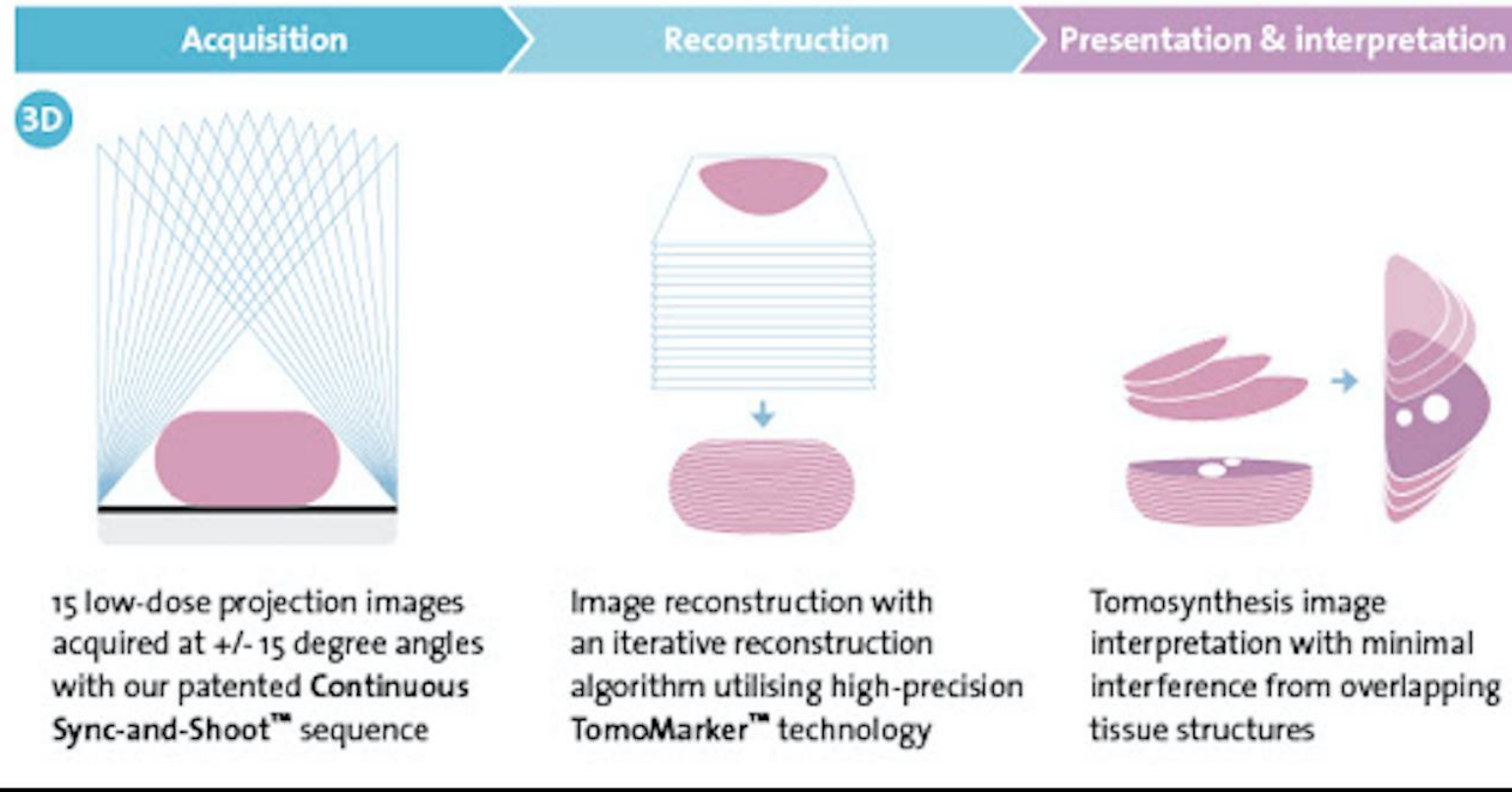
## Ospedale Cardarelli (Napoli)

- Salvatore Minelli	Dir. Struttura Senologia
- Specializzanda	

## ASL Cuneo 1 (Cuneo)

- Massimiliano Porzio	Fisica Sanitaria
-----------------------	------------------





## DOSE GHIANDOLARE MEDIA

Mammografia e Tomosintesi < 3 mGy

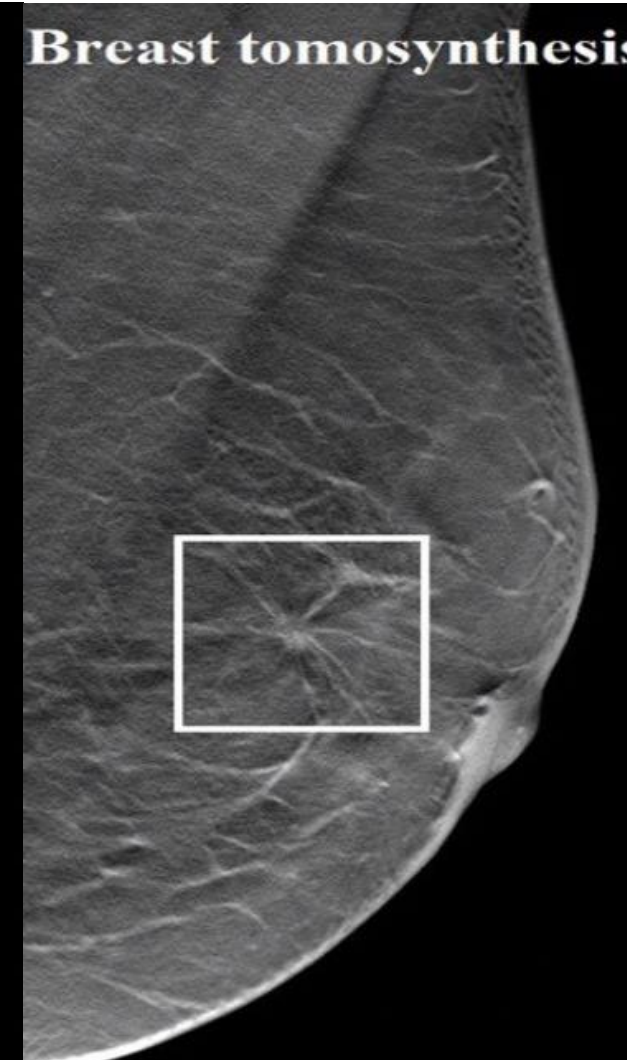
( in DBT per singola acquisizione la dose varia tra 0.9 e 1.6 mGy)

<https://www.euref.org>





# MAMMOGRAPHY vs DBT



**Mammography**

**Breast tomosynthesis**

## Vantaggi Tomosintesi

Rappresentazione tridimensionale del seno

Riduzione del rumore anatomico

Riduzione di diagnosi erronee

## Svantaggi Tomosintesi

Analisi di un numero maggiore di immagini

Diagnosi erronee dovute a stress lavorativo

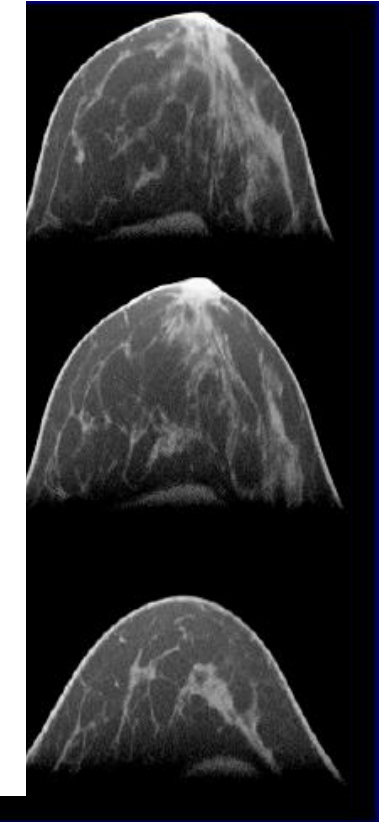
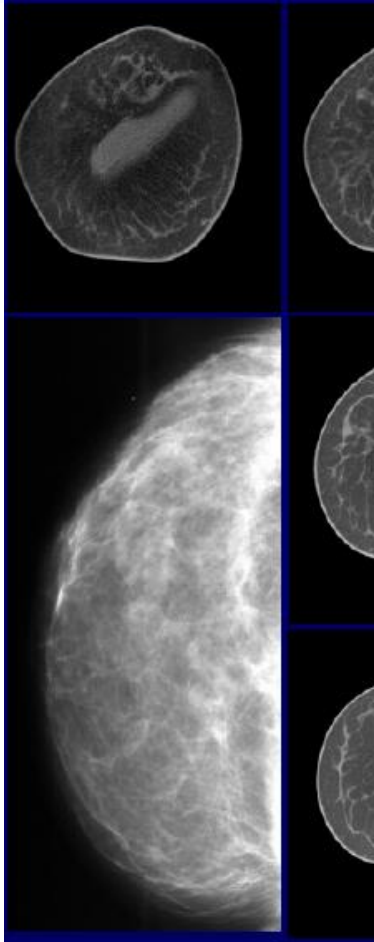
Vedantham S., Karella A., Vijayaraghavan Gopal R., Kopans Daniel B., "Digital Breast Tomosynthesis: State of the Art<sup>1</sup>" Radiology: Volume 277: Number 3—December (2015).





M P R L  
Medical Physics Research Laboratory

# Breast CT

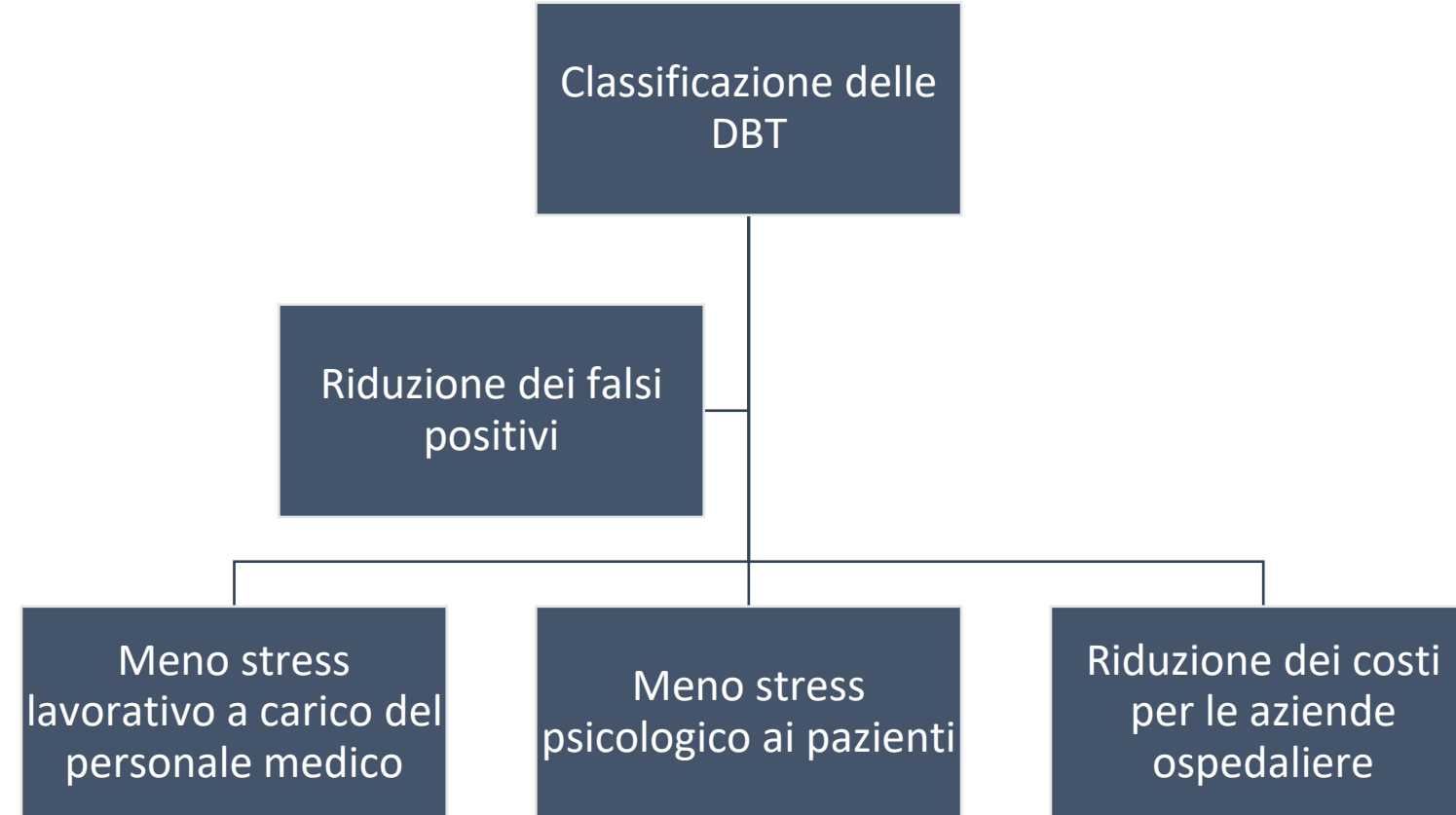


University of Naples "Federico II"- "Ettore Pancini" Physics Department  
National Institute Nuclear Physics

**INFN**  
Istituto Nazionale di Fisica Nucleare



# Al come soluzione ai problemi annessi alla tomosintesi



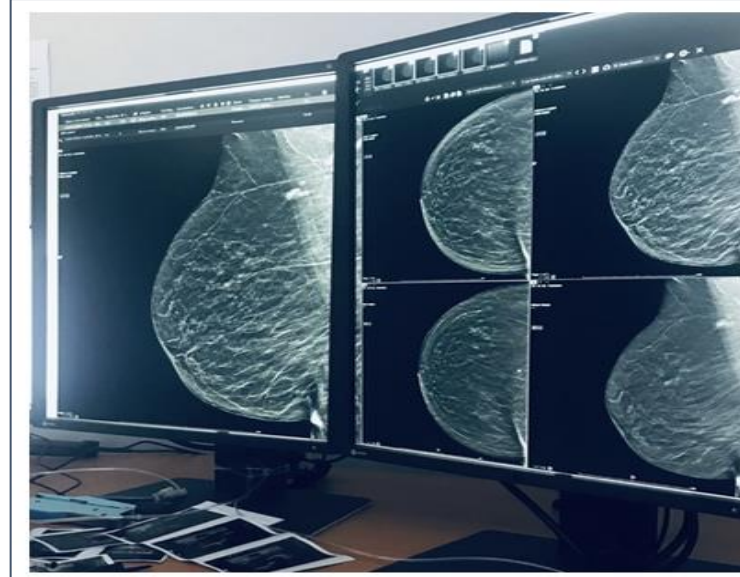
McDonald RJ et al, "The effects of changes in utilization and technological advancements of cross-sectional imaging on radiologist workload." Acad Radiol. Sep;22(9):1191-8 (2015).





# Costruzione del database

Collaborazione con l'Azienda Ospedaliero-Universitaria S. Giovanni di Dio e Ruggi D'Aragona di Salerno



**Apparato di acquisizione**  
**Hologic Selenia® Dimensions® AWS 8000**

**9 DBT in proiezione  
Cranio Caudale**  
242 slice

**70% allenamento**  
189 slice

**30% test**  
73 slice

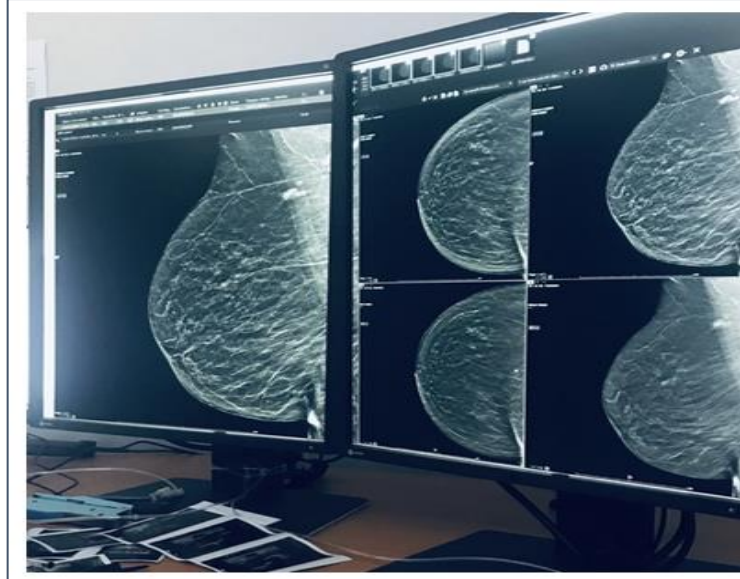
**Dimensioni di singola slice 2D**  
1996 x 2457 x 1 px  
(18 x 24 cm<sup>2</sup>)





# Costruzione del database

Collaborazione con l'Azienda Ospedaliera Cardarelli di Napoli



**Apparato di acquisizione**  
**Giotto Class 4000**

**100 DBT in proiezione  
Cranio Caudale**  
4692 slice

**70% allenamento**  
3284 slice

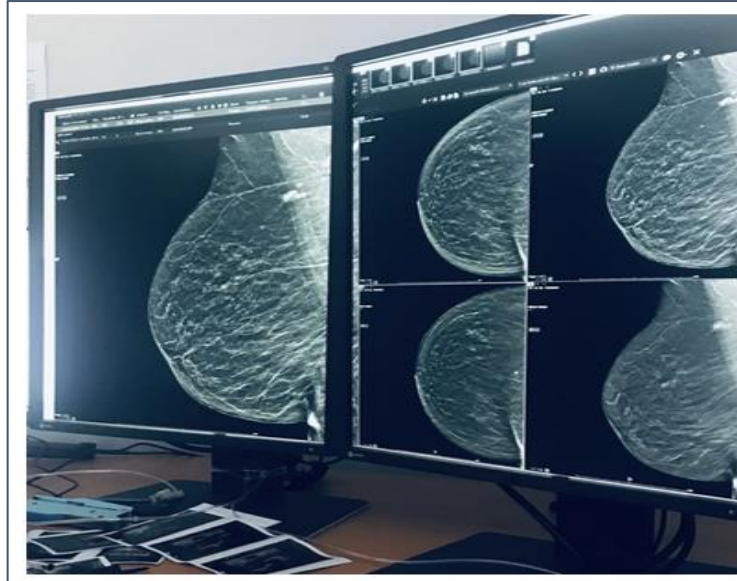
**30% test**  
1407 slice

**Dimensioni di singola slice 2D**  
1072 x 2356 x 1 px  
(18 x 24 cm<sup>2</sup>)

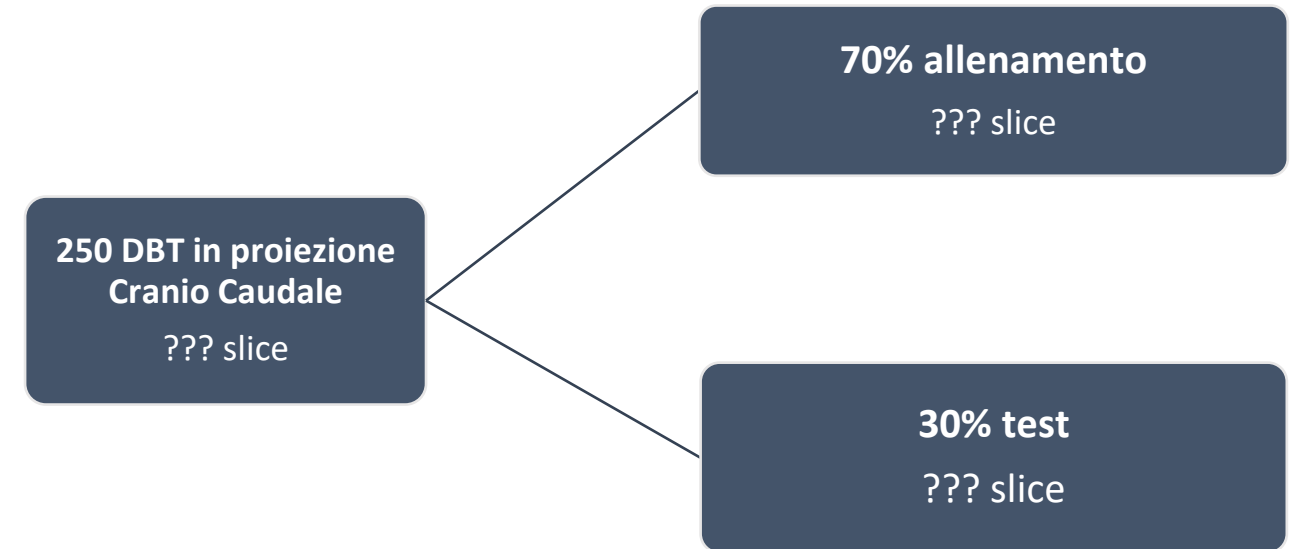




Collaborazione con Istituto Nazionale Tumori "Regina Elena"



**Apparato di acquisizione  
Giotto Class (BIESSE Medica)**



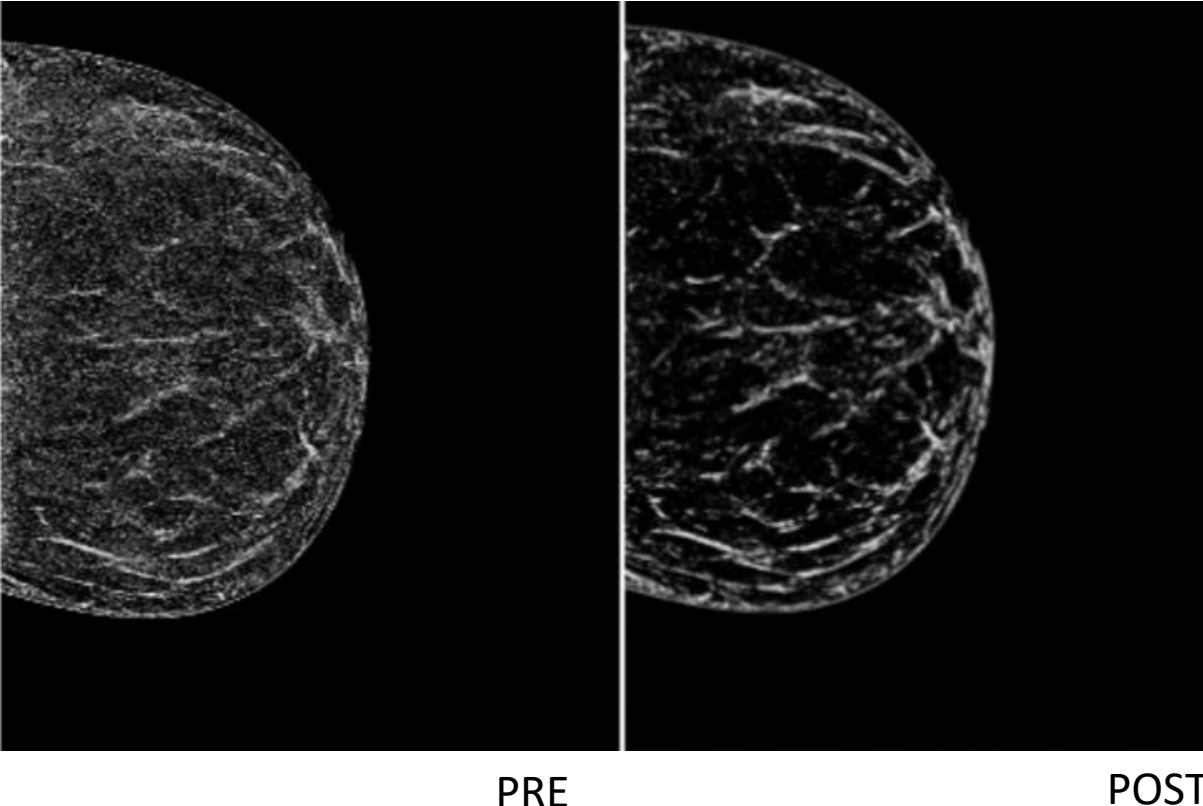
**Dimensioni di singola slice 2D**



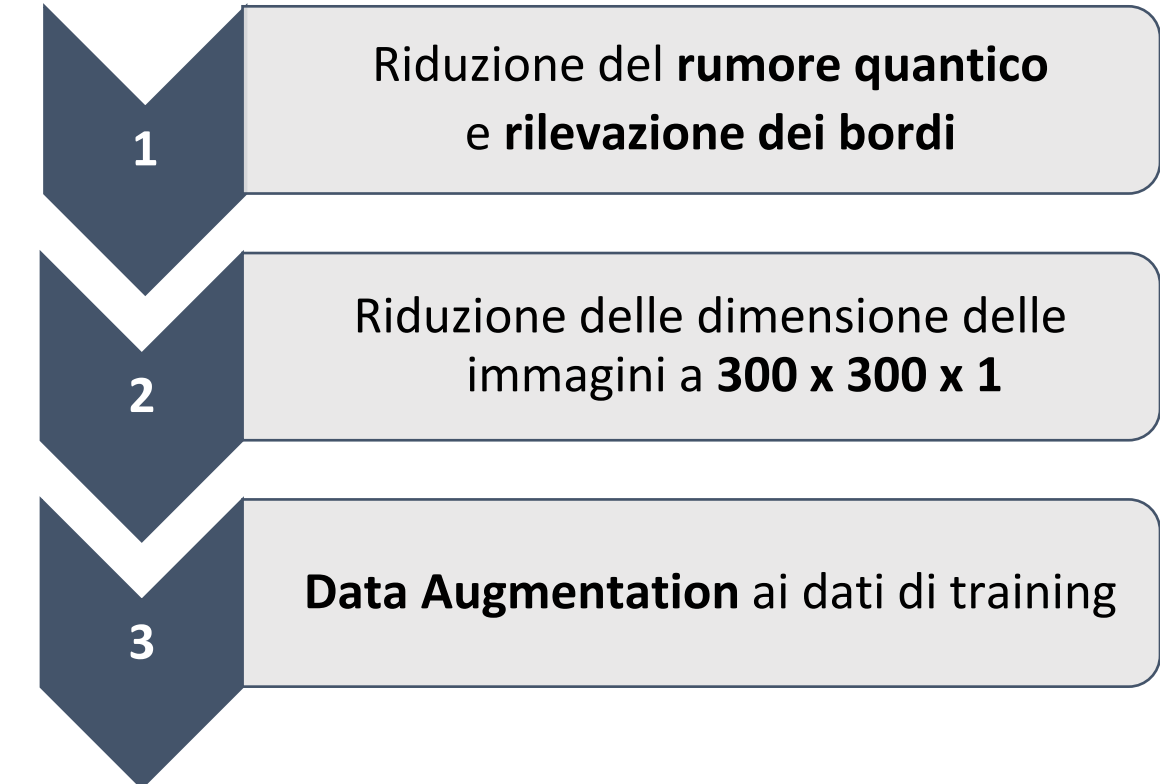


# Pre – processing delle immagini

Immagini pre-processate



Algoritmo di pre-processing



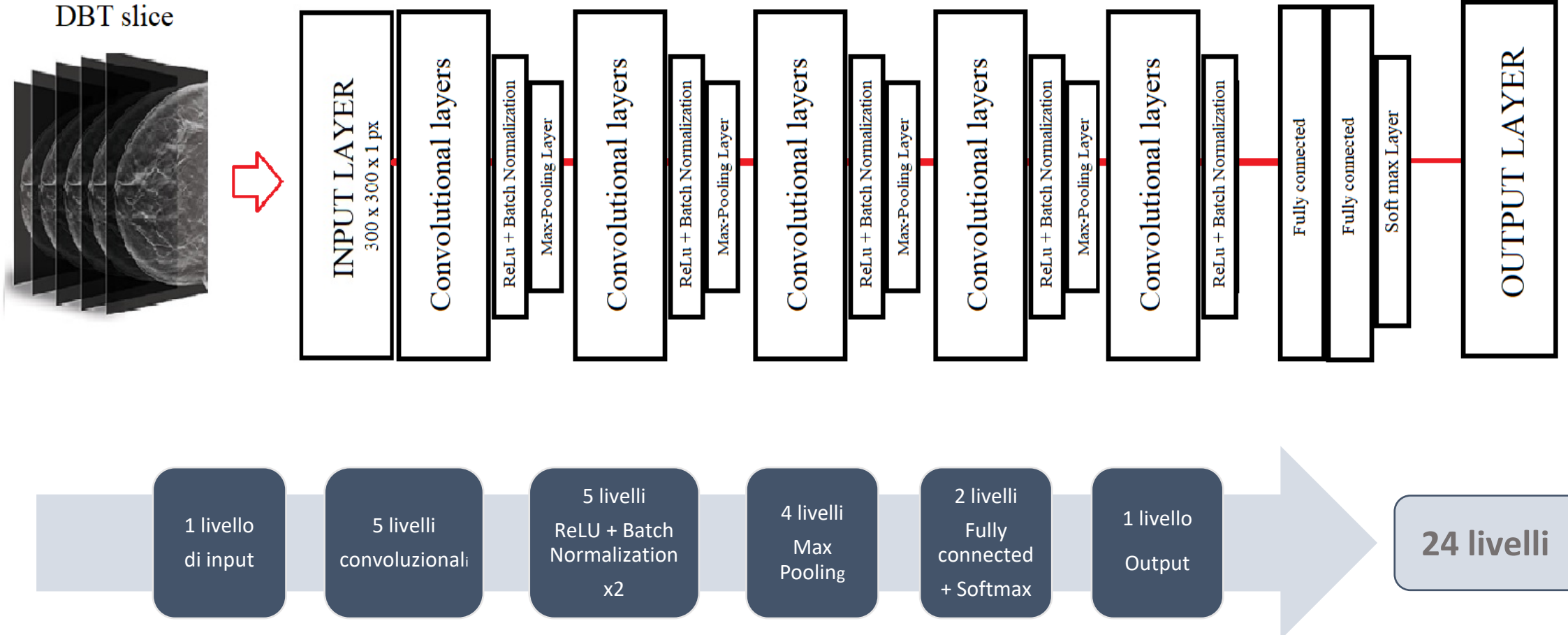
**3024 immagini totali di allenamento**





# Scelta e/o costruzione dell'architettura di rete

Ambiente di sviluppo : Matlab 2019b





## Parametri di addestramento

**ADAM**

(adaptive moment estimation)

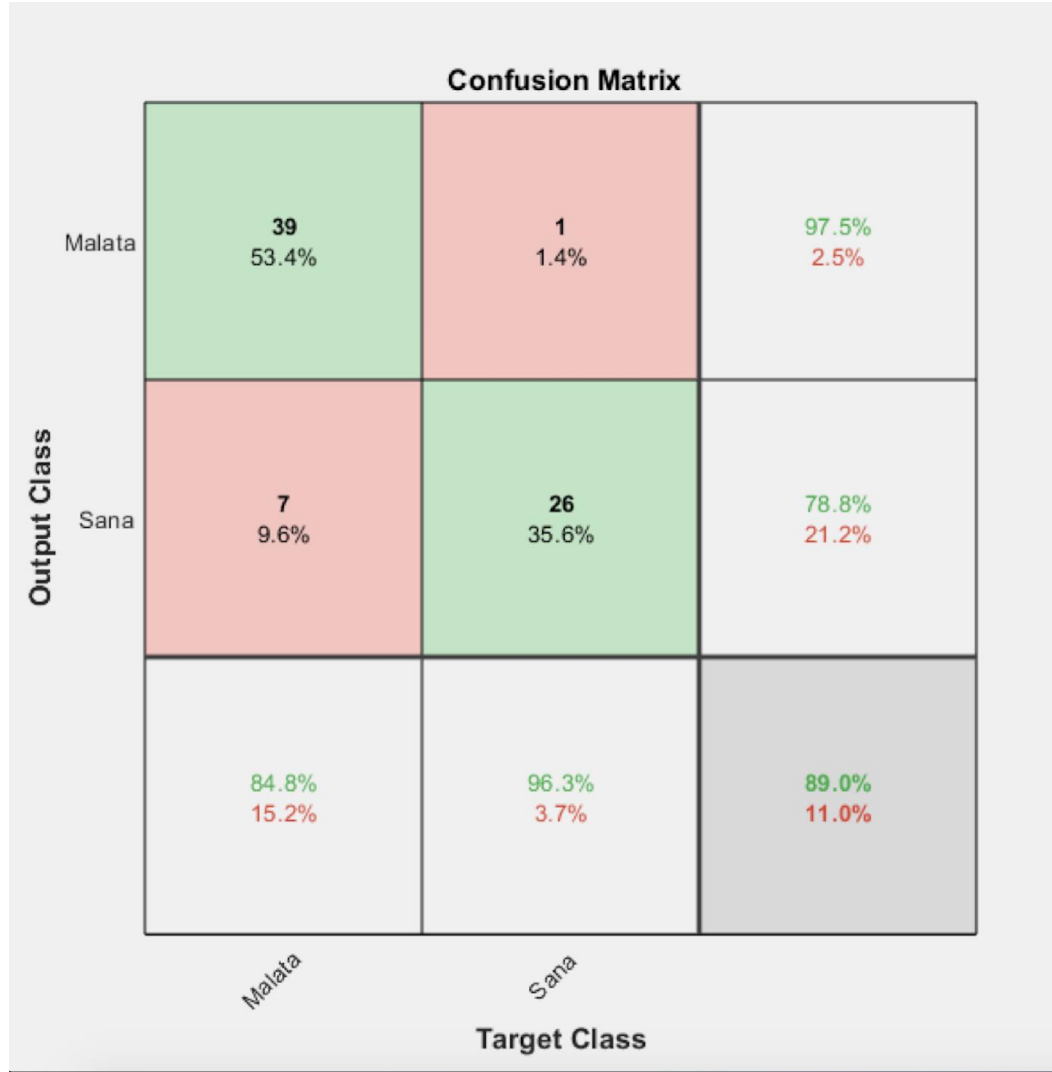
Learning rate: 0.0004

15 epoche

1 punto di  
validazione  
ogni 20  
interazioni

Multi- GPU  
«GTX TITAN X»  
NVIDIA





## Valutazione statistica delle prestazioni di rete

Specificità  
(veri negativi)

$$\frac{TN}{TN + FP} \quad 0.96 \pm 0.04$$

Sensibilità

$$\frac{TP}{TP + FN} \quad 0.85 \pm 0.08$$

Precisione  
(veri positivi)

$$\frac{TP}{TP + FP} \quad 0.97 \pm 0.03$$

Accuracy

$$\frac{TP + TN}{N} \quad 0.89 \pm 0.07$$

F1 score

0.99





# Conclusioni & Sviluppi futuri

Lo **scopo primario** della rete neurale convoluzionale è quello di **ridurre il numero di pazienti falsi positivi** a seguito di una **classificazione binaria di ogni singola slice** appartenente ad uno stesso esame diagnostico di tomosintesi digitale al seno.

Alto valore della specificità

$0.96 \pm 0.04$

Ampliare il database con nuove immagini DBT

Valore di accuracy competitivo

$0.89 \pm 0.07$

Localizzazione delle masse tumorali e dei cluster di microcalcificazioni





## - Applicazione delle Generative Adaptive Network



- Data normalization
- Data segmentation
- Super Resolution





M P R L  
Medical Physics Research Laboratory

# Attività correlate



University of Naples "Federico II"- "Ettore Pancini" Physics Department  
National Institute Nuclear Physics

**INFN**  
Istituto Nazionale di Fisica Nucleare



Grazie per l'attenzione  
#IoRestoACasa

Cosa facciamo adesso Prof?



Quello che facciamo tutte le volte...  
tentare di conquistare il mondo!

